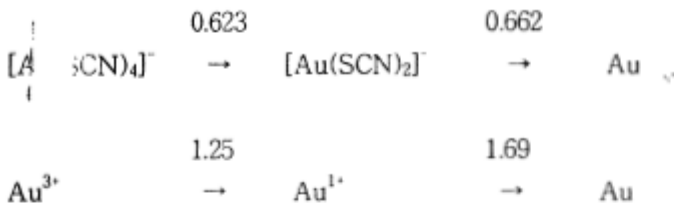


1. (55 점) 다음은 Au에 대한 Latimer Diagram의 일부이다.



- (a)  $[\text{Au}(\text{SCN})_4]^-$ 의 nomenclature를 써라.  
 (b)  $[\text{Au}(\text{SCN})_2]^-$ 의 nomenclature를 써라.  
 (c)  $[\text{Au}(\text{SCN})_4]^- \rightarrow \text{Au}$  환원 반쪽 반응의 균형방정식(Balanced Equation)을 쓰고 표준환원전위(Standard Reduction Potential)를 구하여라.  
 (d)  $\text{Au}^{3+} \rightarrow \text{Au}$  환원 반쪽 반응의 균형방정식(Balanced Equation)을 쓰고 표준환원전위(Standard Reduction Potential)를 구하여라.  
 (e) 위의 Latimer Diagram을 바탕으로 Frost Diagram을 그려라. (좌표를 정확하게 표기하라.)  
 (f)  $[\text{Au}(\text{SCN})_4]^-$ 의 formation constant를 구하여라.



2. (20점)  $[\text{Cr}(\text{PMe}_3)_3\text{Cl}_3]$ 는 Octahedral 구조를 가지고 두 종류의 이성질체(Isomer)가 존재한다.

(Me =  $-\text{CH}_3$ )

- (a) 두 이성질체의 구조를 그리고 각각 명명하여라. ( $x$ - $[\text{Cr}(\text{PMe}_3)_3\text{Cl}_3]$ 의 형태로 써라)  
 (b) 우액 상태에서  $^{31}\text{P}$  NMR 실험을 하면 위의 두 이성질체를 구별할 수 있다. 각 이성질체에 몇 개의  $^{31}\text{P}$ 가 존재할지 예측해 보아라. ( $^1\text{H}$ - $^{31}\text{P}$  coupling은 고려하지 말아라. 즉  $^1\text{H}$ - $^{31}\text{P}$  coupling은 zero라고 하여라.)

3. (30점) 전이금속이온의 5개의 d-orbital들은 free ion 상태나 uniform field 안에서 중첩(degenerate) 되어 있다. 이온이 쪽물을 형성할 때 즉 d-orbital이 결정장(crystal field)에 들어갈 때, 중첩이 깨어지고 d-orbital들의 energy level이 갈라지게 된다.

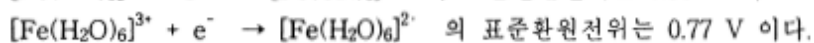
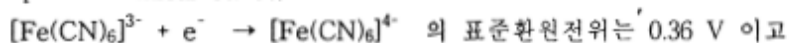
- (a) Uniform field, octahedral field, tetrahedral field가 tetragonal distortion (axial elongation)이 일어났을 경우, square planar field, 그리고 tetrahedral field에서의 d-orbital energy level diagram을 그려라. (d-orbital을 정확히 표시하고 각 field 사이의 correlation을 표시하라.)  
 (b) Octahedral field에서 (a)의 energy level이 나타나는 이유를 적어라.

4. (20점) Acidic condition에서  $E^\circ(\text{MnO}_4^-(aq)/\text{MnO}_2(s)) = 1.69 \text{ V}$  이다.

- (a)  $\text{MnO}_4^-(aq) \rightarrow \text{MnO}_2(s)$  환원 반쪽 반응의 균형 방정식을 써라.  
 (b) 위 환원 반응의 전위 (Reduction Potential)를 pH와  $[\text{MnO}_4^-]$  ( $\text{MnO}_4^-$ 의 농도)의 함수로 표시하여라.  
 (c)  $\text{pH} = 9.00$ ,  $[\text{MnO}_4^-] = 0.25 \text{ M}$  일 때 환원전위는?



5. (30점) 일반적으로  $\text{CN}^-$ 는  $\text{H}_2\text{O}$ 보다 열역학적으로 더 안정된 착물을 형성한다. (Hint: low spin, high spin, spectrochemical series)



(a)  $[\text{Fe}(\text{CN})_6]^{3-}$  와  $[\text{Fe}(\text{H}_2\text{O})_6]^{3+}$  중에서 어느 것이 더 안정한가?

(b) (a)의 이유를 LFSE (Ligand Field Stabilization Energy)를 이용하여 설명 하여라.

(c)  $[\text{Fe}(\text{CN})_6]^{4-}$  와  $[\text{Fe}(\text{H}_2\text{O})_6]^{2+}$  중에서 어느 것이 더 안정한가?

(d) 위의 표준환원전위를 보이는 이유는  $\text{H}_2\text{O}$  ligand가  $\text{CN}^-$ 로 치환되는 반응에서  $\text{CN}^-$ 가  $[\text{Fe}(\text{CN})_6]^{3-}$ 를  $[\text{Fe}(\text{CN})_6]^{4-}$  보다 더 많이 안정시키기 때문이다. 그 이유를 LFSE를 이용하여 설명 하여라.

6. (55점)  $\text{O}_h$  point group의 character table을 이용하여 전이금속착물 (예를 들어  $[\text{Co}(\text{NH}_3)_6]^{3+}$ ) 의 MO (Molecular Orbital) diagram을 완성하여보자.

(a) Central  $\text{Co}^{3+}$ 의 4p, 4s, 3d orbital들의 symmetry type은?

(b)  $\text{NH}_3$ 의 비공유전자쌍 (lone pair)은 착물을 형성하는데  $\sigma$ -donor로써 작용한다. 이 여섯 개의  $\sigma$ -donor orbital들을 ligand로부터 metal ion으로 향한 6개의 화살표로 표시하자. 이 여섯 개의 화살표를 basis로하여  $\text{O}_h$  point group에서의 reducible representation을 구하여라.

(c) (b)의 reducible representation을 irreducible representation (symmetry type)들의 합으로 표시하여라.

(d)  $[\text{Co}(\text{NH}_3)_6]^{3+}$ 의 MO energy level diagram을 그려라. ligand splitting parameter ( $\Delta_0$ )를 diagram에 표시하여라.

(e) 전자배치 (electron configuration)는 어떻게 되는가?

(f) (d)의 MO로부터 배위결합 (coordination)을 설명하여라.

(g)  $[\text{Co}(\text{NH}_3)_6]^{3+}$ 의 spin quantum number는?

(h)  $[\text{Co}(\text{NH}_3)_6]^{3+}$ 의 LFSE는?

7. (20점) 다음 착물의 nomenclature를 쓰거나 조성식을 쓰고 구조를 그려라.

(a)  $[\text{Ni}(\text{CO})_4]$

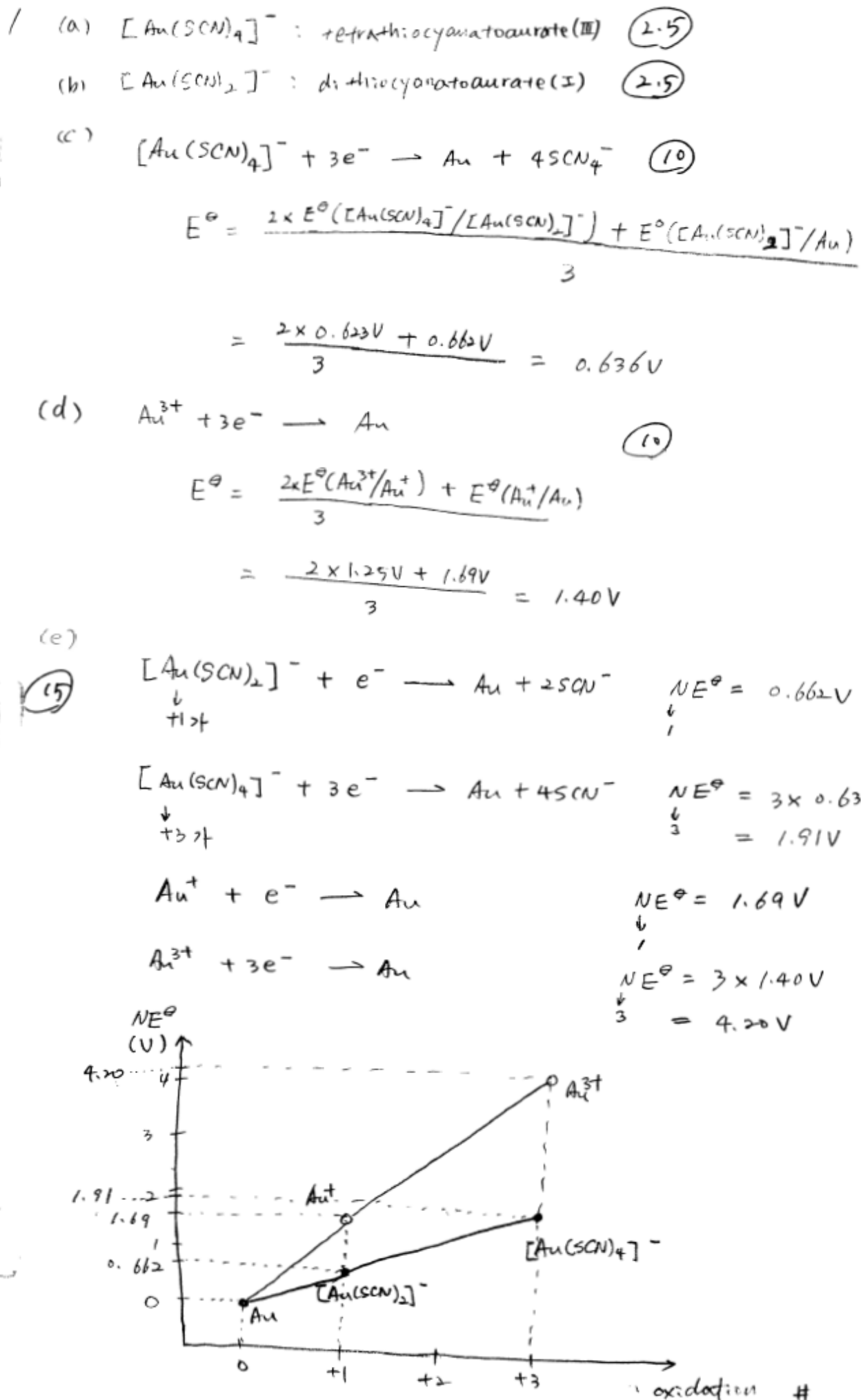
(b)  $[\text{Ni}(\text{CN})_2]^{2-}$

(c) pentaamminechlorocobalt(III)

(d) cis-dichlorobis(ethylenediamine)ruthenium(II)

8. (20점) 교과서의 6장과 7장의 내용 중 스스로가 자신있는 부분에 대하여 문제를 내고 풀어라. (되도록이면 위의 내용과 중복이되지 않도록 하라.)

$\text{O}_h$	$E$	$2\text{C}_3$	$6\text{C}_2$	$6\text{C}_4$	$3\text{C}_2 (= \text{C}_3^2)$	$i$	$6\text{S}_4$	$8\text{S}_2$	$3\text{G}_b$	$6\text{G}_d$	$h = 48$
$A_{1g}$	1	1	1	1	1	1	1	1	1	1	$x^2+y^2+z^2$
$A_{2g}$	1	1	-1	-1	1	1	-1	1	1	-1	
$E_g$	2	-1	0	0	2	2	0	-1	2	0	$(2z^2-x^2-y^2, x^2-y^2)$
$T_{1g}$	3	0	-1	1	-1	3	1	0	-1	-1	
$T_{2g}$	3	0	1	-1	-1	3	-1	0	-1	1	$(xy, yz, zx)$
$A_{1u}$	1	1	1	1	1	-1	-1	-1	-1	-1	
$A_{2u}$	1	1	-1	-1	1	-1	1	-1	-1	1	
$E_u$	2	-1	0	0	2	-2	0	1	-2	0	
$T_{1u}$	3	0	-1	1	-1	-3	-1	0	1	1	$(x, y, z)$
$T_{2u}$	3	0	1	-1	-1	-3	1	0	1	-1	



(f) (d) - (c)



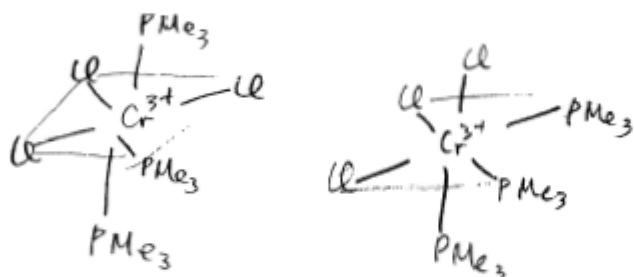
$$K_f = \frac{[\text{Au}(\text{SCN})_4^-]}{[\text{Au}^{3+}][\text{SCN}^-]^4}$$

$$\ln K_f = \frac{vFE^\ominus}{RT}$$

$$\therefore K_f = e^{\frac{vFE^\ominus}{RT}} = e^{\frac{3 \times 96485 \text{ C/mol} \times 0.760 / 0.715 \text{ J K}^{-1} \text{ mol}^{-1} \times 298 \text{ K}}{}} = 3.68 \times 10^{38}$$

2. (a)

10



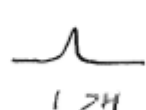
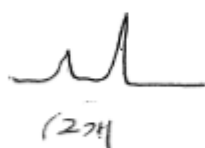
mer- $[\text{Cr}(\text{PMe}_3)_3(\text{Cl}_3)]$

fac- $[\text{Cr}(\text{PMe}_3)_3\text{Cl}_3]$

6  
10

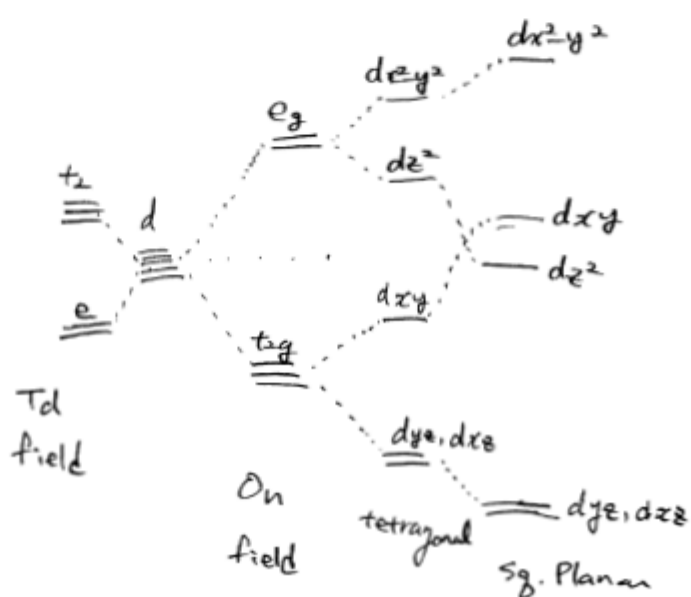
mer- $[\text{Cr}(\text{PMe}_3)_3(\text{d}_3)]$

fac- $[\text{Cr}(\text{PMe}_3)_3\text{d}_3]$



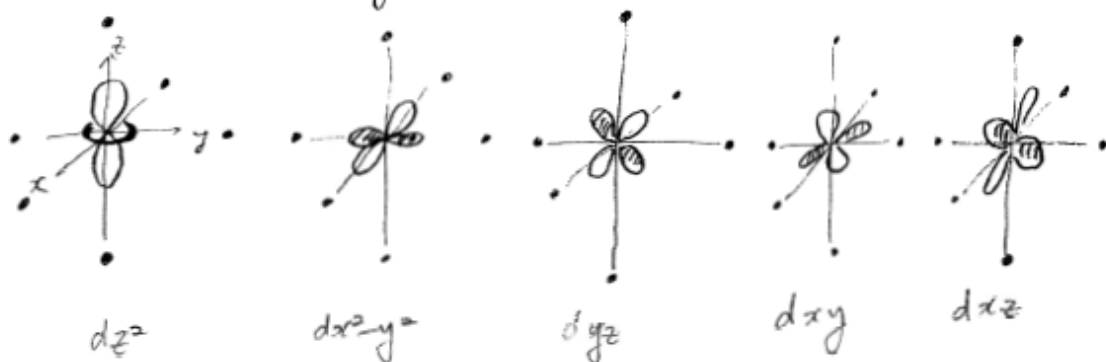
3. (a)

15



(3)

- (b) crystal field theory에서도 ligand은 d-orbital을 차지하는 전자로 보인다.  
 ⑮ 그 결과와 d-orbital 차지 전자수가 같아 d-orbital은 d-orbital의 energy level이 같아지게 된다. On field으로 d-orbital은 방향과 음전하(ligand)의 방향을 보면

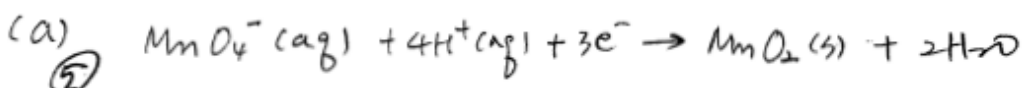


결과로  $dz^2$ 와  $dx^2-y^2$  orbital은 음전하의 반발래이다. 나머지 orbital은 음전하의 반발래보다 커서 에너지 준위가 높아지게 된다.

$$\begin{array}{c} \vdots \\ \text{---} \\ \text{---} \end{array} = e_g (dz^2, dx^2-y^2)$$

$$= t_{2g} (dxy, dyz, dxz)$$

4.



(b) ⑦  $E = E^\ominus - \frac{RT}{VF} \ln \frac{1}{[\text{MnO}_4^-][\text{H}^+]^4}$

$$= 1.69V - \frac{8.315 \text{ J K}^{-1} \text{ mol}^{-1} \times 298 \text{ K}}{3 \times 96485 \text{ C mol}^{-1}} \ln \frac{1}{[\text{MnO}_4^-][\text{H}^+]^4}$$

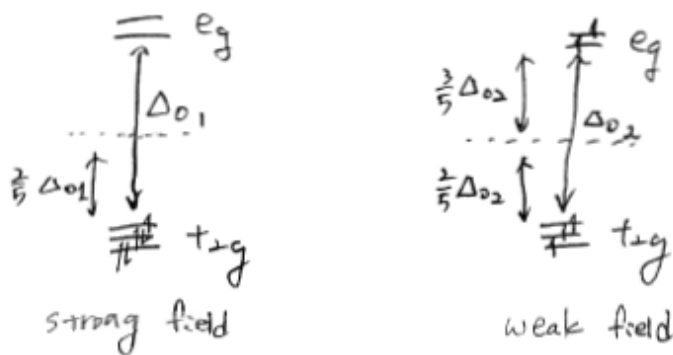
$$= 1.69V - \frac{0.059V}{3} \left( \log \frac{1}{[\text{MnO}_4^-]} + 4 \log \frac{1}{[\text{H}^+]} \right)$$

$$= 1.69V - 0.079V \times pH - 0.020V \times \log \frac{1}{[\text{MnO}_4^-]}$$

(c) ⑧  $E = 1.69V - 0.079V \times 9 - 0.020V \times \log \frac{1}{0.25}$   
 $= 0.99V$

4

5. (a)  $\text{[Fe(CN)}_6]^{3-}$   
 (b)  $\text{[Fe(CN)}_6]^{3-}$        $\text{[Fe(H}_2\text{O)}_6]^{3+}$   
 (c)  $\text{Fe}^{3+} (\text{d}^5)$        $\text{Fe}^{3+} (\text{d}^5)$

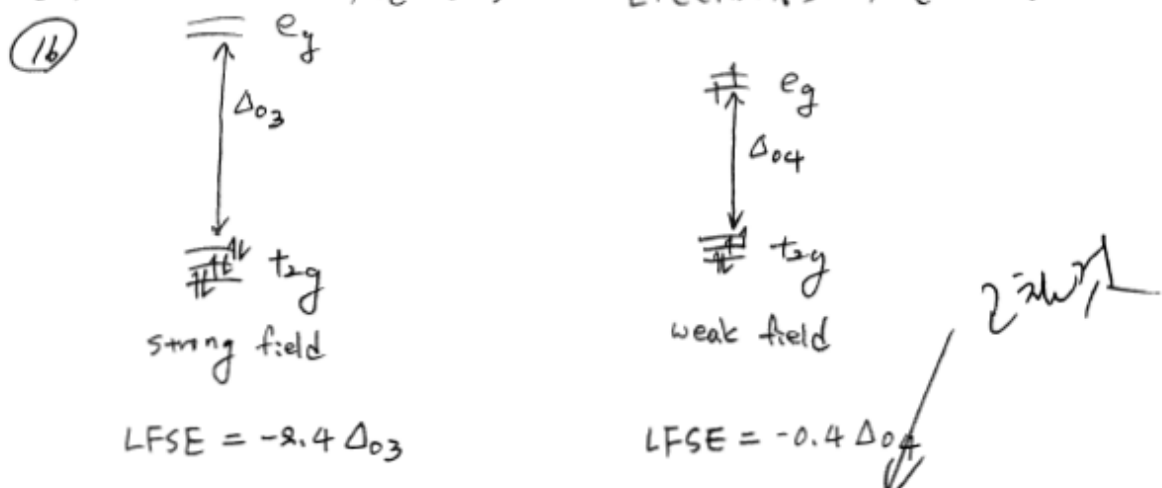


$$\Delta FSE = -2.0 \Delta_{01}$$

$$\Delta FSE = 0$$

∴  $[\text{Fe}(\text{CN})_6]^{3-}$  가 더 안정하다.

- (c)  $[\text{Fe}(\text{CN})_6]^{4-}$   
 (d)  $[\text{Fe}(\text{CN})_6]^{4-}, \text{Fe}^{2+}(\text{d}^6)$        $[\text{Fe}(\text{H}_2\text{O})_6]^{2+}, \text{Fe}^{2+}(\text{d}^6)$



$$\text{cetatm} \cdot [\text{Fe}(\text{H}_2\text{O})_6]^{3+} \rightarrow [\text{Fe}(\text{CN})_6]^{3-} \text{ 일정 반응입니다.}$$

예약학적으로  $-2.0 \Delta_0$  만큼 안정화 된다.

$$[\text{Fe}(\text{H}_2\text{O})_6]^{2+} \rightarrow [\text{Fe}(\text{CN})_6]^{4-} \leftarrow \text{치광 반응 예제는}$$

$-2.4\Delta_{03} + 0.4\Delta_{04}$  만큼 안정화 된다.

$$\Delta_{01} > \Delta_{03} \quad (\text{산화수가 증가, } \Delta_0 \text{ 가 증가}) \text{ 이고 } -2.0\Delta_{01} < -2.4\Delta_{03} + 0.4\Delta_{04}$$

이어서  $[Fe(CN)_6]^{3-}$  가 더 많이 안정화 된다.

6. (a)

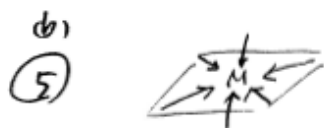
⑤ 4P :  $T_{1u}$

4S :  $A_{1g}$

$3d_{x^2-y^2}, 3d_{z^2} : E_g$

$3d_{xy}, 3d_{yz}, 3d_{zx} : T_{1g}$

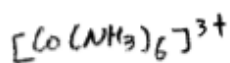
(b)



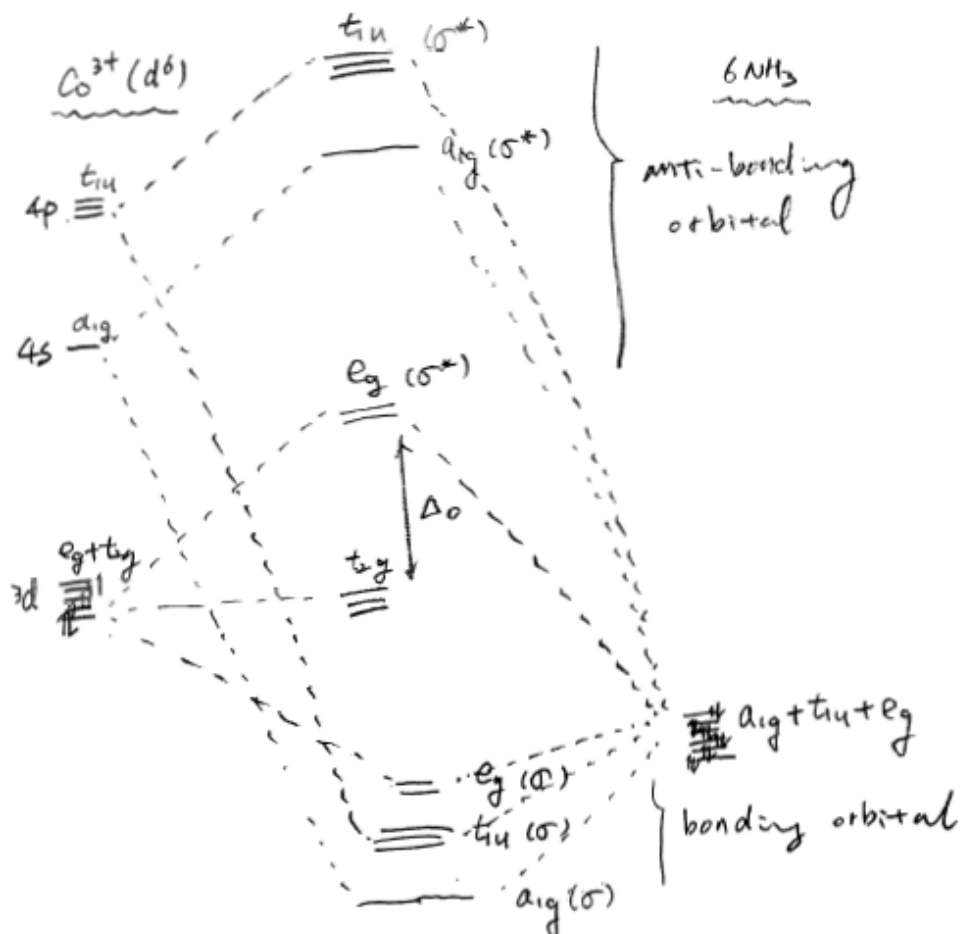
$O_h$	E	$A_{1g}$	$t_{1u}$	$t_{2g}$								
$\Gamma_6$	6	0	0	2	2	0	0	0	4	2		

(c)

$$\Gamma_6 = A_{1g} + T_{1u} + E_g$$



(d)



(e)

$$a_{1g}^2 t_{1u}^6 e_g^4 t_{2g}^6 \quad (\text{strong field})$$

(f)

bonding orbital은 주로 ligand orbital의 성질을 가지고  
반면 core 원자 배위 궤도는 ligand의  $\sigma$ -electron을 주로 포함하는  
phospholite.

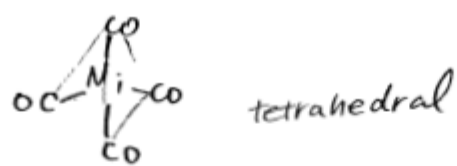
(g)  $S=0$

$$(h) \text{LFSE} = -2.4 \Delta_o$$

⑥

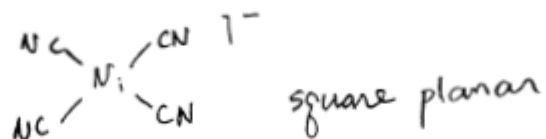
7. (a)  $[Ni(CO)_4]$  : tetracarbonylnickel(0)

⑤



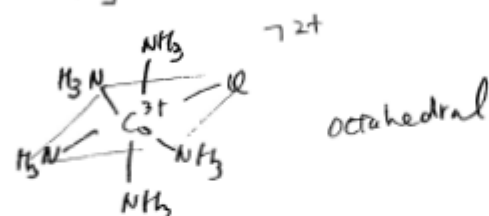
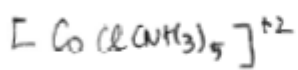
(b)  $[Ni(CN)_4]^{2-}$  : tetracyanonickelate(II)

⑤



(c)

⑤



(d)

⑤

